

**ПРЯМОЕ ЭКСПЕРИМЕНТАЛЬНОЕ ДОКАЗАТЕЛЬСТВО СУЩЕСТВОВАНИЯ  
ДЕЛОКАЛИЗОВАННЫХ СОСТОЯНИЙ ПОД УРОВНЕМ ФЕРМИ В УСЛОВИЯХ  
ЦЕЛОЧИСЛЕННОГО КВАНТОВОГО ЭФФЕКТА ХОЛЛА**

B. T. Долгополов, Н. Б. Житенев, А. А. Шашкин

Выполнено измерение холловской компоненты проводимости  $\sigma_{xy}$  на образцах геометрии Корбино в условиях целочисленного квантового эффекта Холла (КЭХ). Зависимость величины  $\sigma_{xy}$  от фактора заполнения соответствует представлениям о реализации КЭХ за счет протяженных состояний под уровнем Ферми.

Вопрос о том, является ток в режиме квантового эффекта Холла (КЭХ) плоскостным или краевым, до сих пор остается открытым. Все существующие теоретические модели, описывающие КЭХ, можно разделить на две группы. В первой из них квантование холловского сопротивления  $\rho_{xy}$  считается плоскостным эффектом двумерного электронного газа<sup>1</sup>. При целочисленном факторе заполнения уровень Ферми находится в области локализованных состояний, диссипативная компонента тензора магнетосопротивления  $\rho_{xx}$  стремится к нулю, а холловский ток переносится делокализованными состояниями под уровнем Ферми. Существование делокализованных состояний вблизи середины квантового уровня было продемонстрировано для случая крупномасштабных флуктуаций потенциала<sup>2</sup>. Численное моделирование для потенциала точечных примесей<sup>3</sup> также не исключает таких состояний. Наконец на наличие протяженных состояний под уровнем Ферми указывает скейлинговая теория<sup>4,5</sup>.

Во второй группе моделей КЭХ связывается со свойствами краевых токов, текущих вдоль границ образца (см., например,<sup>6</sup>). В этом случае наличие или отсутствие делокализованных состояний под уровнем Ферми в плоскости двумерного газа не существенно. В работе<sup>6</sup> считается, что делокализованные состояния существуют только у границ двумерного электронного слоя.

Доказательством существования делокализованных состояний под уровнем Ферми в режиме КЭХ может служить ненулевая величина холловской проводимости  $\sigma_{xy}$ , поскольку последняя представляет собой отклик системы на электрическое поле в плоскости двумерных электронов<sup>1</sup>. Для того чтобы измерить проводимость  $\sigma_{xy}$ , необходимо исключить возможный вклад в измеряемую величину от краевых токов. Поскольку в образцах холловской геометрии такой вклад не исключен, вычисление проводимости  $\sigma_{xy}$  из тензора магнетосопротивления может оказаться неверным.

В настоящей работе холловская проводимость измерена на образцах геометрии Корбино. Эксперимент представляет собой реализацию мысленных опытов Лафлина<sup>7</sup>, Вайдома и Кларка<sup>8</sup>. Краевой ток в геометрии Корбино может быть только азимутальным. Если поместить образец в центр соленоида, создающего нормальное к поверхности магнитное поле  $H$ , меняющееся во времени, то вихревое электрическое поле  $E$  будет направлено по азимуту (см. рис. 1, a), и вклад краевых токов в радиальный холловский ток будет исключен. В области холловских плато, где  $\sigma_{xx}$  пренебрежимо мала, возникнет перенос заряда с одного берега образца на другой за счет холловского тока. Внутрь окружности радиуса  $r$  при увеличении магнитного поля на величину  $\Delta H$  протечет заряд, равный

$$\Delta Q(r) = -\frac{\sigma_{xy}}{c} \Delta \Phi(r) = -\frac{\sigma_{xy}}{c} (\pi r^2 \Delta H). \quad (1)$$

Для регистрации переноса заряда достаточно подключить между берегами электрометр. Схема измерений показана на рис. 1, б, где  $C_1$  и  $C_2$  соответствуют паразитным емкостям между

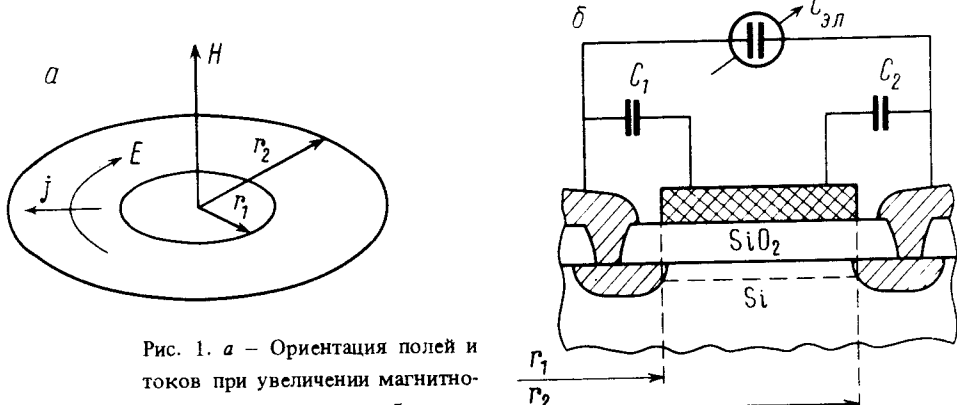


Рис. 1. а – Ориентация полей и токов при увеличении магнитного поля, б – сечение образца и эквивалентная схема измерений

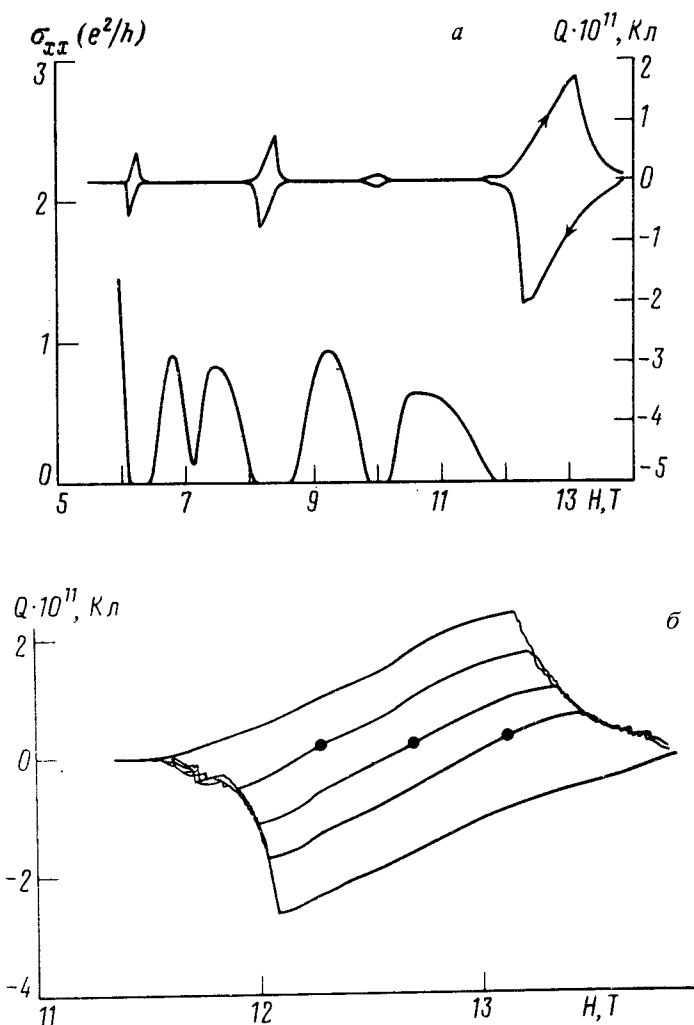


Рис. 2. а – Зависимость от магнитного поля перенесенного заряда (верхняя кривая) и  $\sigma_{xx}$ . Стрелки указывают направление развертки магнитного поля; б – зависимость перенесенного заряда от магнитного поля при старте из различных точек по фактору за-полнения

ду берегами и затвором, а  $C_{\text{эл}}$  – входная емкость электрометра. Элементарный расчет показывает, что измеряемая разность потенциалов равна

$$\Delta V = \frac{\sigma_{xy}}{c} \pi \frac{C_2 r_1^2 + C_1 r_2^2}{C_1 C_2 + (C_1 + C_2) C_{\text{эл}}} \Delta H, \quad (2)$$

что соответствует переносу заряда

$$\Delta Q = \frac{\sigma_{xy}}{c} \pi \frac{C_2 r_1^2 + C_1 r_2^2}{C_1 + C_2} \Delta H. \quad (3)$$

Эксперименты выполнены на двух МОП структурах кремния (100) при температуре  $\approx 25$  мК. Образцы обладали максимальной подвижностью  $\mu \approx 2 \text{ м}^2/\text{Вс}$  при  $T = 1,5$  К. Толщина двуокиси кремния составляла  $1300 \text{ \AA}$ ;  $2r_1 = 225 \text{ мкм}$ ,  $2r_2 = 675 \text{ мкм}$ . Типичные экспериментальные кривые показаны на рис. 2, а, б. При измерениях использовалась следующая последовательность операций. В начале между затвором и одним из берегов МОП структуры подключали источник постоянного напряжения и создавали двумерный электронный слой с заданной концентрацией. Затем затвор отключали от источника напряжения и с постоянной скоростью вводили магнитное поле. Типичные времена, за которые достигалось поле  $H \approx 14$  Тл, составляли 40 мин и более. Изменение электронной концентрации за счет токов утечки во время развертки было несущественным  $\Delta N_s/N_s \approx 0,5\%$ . Перед началом всякой последующей записи магнитное поле устанавливали так, чтобы величина  $\sigma_{xx}$  была близка к максимуму, и производили коррекцию напряжения на затворе.

Как видно из рис. 2, а, в минимумах  $\sigma_{xx}$  действительно наблюдается перенос заряда с берега на берег, причем знак заряда зависит от направления развертки магнитного поля, то есть от знака  $\Delta H$ . Было проверено, что в согласии с формулами (2), (3) при увеличении  $C_{\text{эл}}$  величина  $\Delta V$  уменьшается, а  $\Delta Q$  не изменяется.

Следует отметить два обстоятельства. Во-первых, вид кривой  $Q(H)$  не зависел от скорости развертки магнитного поля. Ограничение скорости развертки снизу накладывалось лишь дрейфом нуля электрометра. Во-вторых, согласно (3) наклон кривой  $\Delta Q/\Delta H$  пропорционален  $\sigma_{xy}$ , поэтому эксперимент позволяет судить о наличии плато в зависимости холловской проводимости от фактора заполнения  $i$ . На рис. 2, б показаны результаты измерений при старте с различных значений фактора заполнения. Точка старта достигалась при относительно высокой температуре ( $0,5 - 0,7$  К), при которой проводимость  $\sigma_{xx}$  была достаточно велика для установления равновесия за короткое время ( $\sim 10$  мин). Затем температура понижалась до  $\approx 25$  мК и производилась запись кривой  $Q(H)$  при увеличении  $H$ . Для записи части кривой, отвечающей уменьшению магнитного поля, образец заново при высокой температуре ставили в точку старта. Наклон определяли по средней части кривой между двумя экстремумами. Результаты пересчета экспериментальных кривых по формуле (3) для различных факторов заполнения приведены на рис. 3. Величины емкостей, входящих в эту формулу, были измерены независимо.

Наблюдаемая картина соответствует представлениям о реализации КЭХ за счет протяженных состояний под уровнем Ферми. С экспериментальной точностью ( $\pm 5\%$ ) величина  $\sigma_{xy}$  в окрестности целочисленных факторов заполнения равна числу квантовых уровней под уровнем Ферми, умноженному на  $e^2/h$ . При факторах заполнения  $i \approx 2; 4$  хорошо прослеживаются плато в  $\sigma_{xy}$ .

Заметим в заключение, что ранее в нескольких работах были сделаны попытки измерения разности потенциалов между берегами образца при изменении магнитного поля  $^{9-11}$ . Однако разность потенциалов, обнаруженная в  $^{9,10}$ , возникла за счет детектирования паразит-

ного сигнала наводки (см. <sup>10</sup>). Результаты работы <sup>11</sup> могут быть интерпретированы как демонстрирующие возможность переноса заряда с берега на берег в азимутальном электрическом поле, но не позволяют сделать каких-либо выводов ни о величине  $\sigma_{xy}$ , ни о том, какие состояния (на уровне Ферми или под ним) ответственны за перенос заряда.

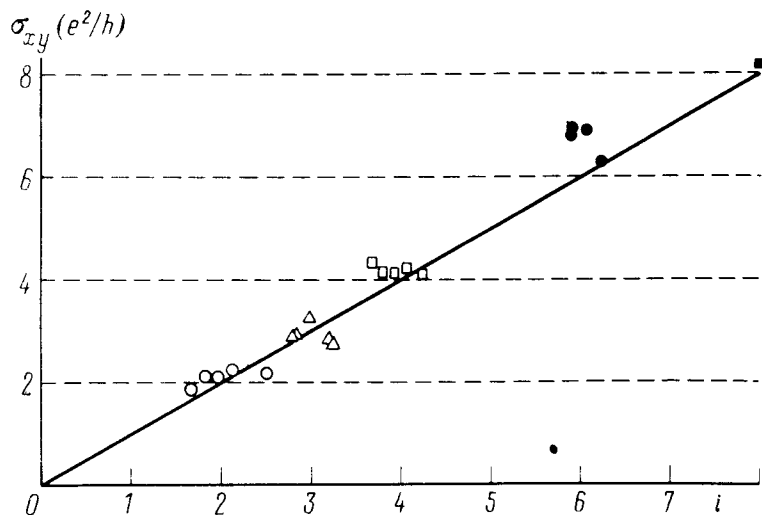


Рис. 3

Постановка нашего эксперимента стимулирована беседами с Э.И.Рашба, которому авторы выражают искреннюю благодарность. Полезными были обсуждения полученных результатов с В.И.Фалько, С.В.Иорданским и С.В.Мешковым.

#### Литература

1. The Quantum Hall Effect. Ed. by R.E.Prange, S.M.Girvin. Springer-Verlag, 1987. Русск. перев. Квантовый эффект Холла, М.: Мир, 1989.
2. Jordansky S.V. Sol. St. Comm., 1982, **43**, 1.
3. Ando T. J. Phys. Soc. Jap., 1983, **52**, 1740.
4. Pruisken A.M.M. In: "Localisation, interaction and transport phenomena". Ed. by B.Kramer, G.Bergman and Y.Bruynseraede. Springer-Verlag, 1984.
5. Хмельницкий Д.Е. Письма в ЖЭТФ, 1983, **38**, 454.
6. Buttiker M. Phys. Rev. B, 1988, **38**, 9375.
7. Laughlin R.B. Phys. Rev. B, 1981, **23**, 5632.
8. Widom A., Clark T.D. J. Phys. D: Appl. Phys., 1982, **15**, L181.
9. Беселаго В.Г., Заварецкий В.Н., Нунупаров М.С., Беркут А.Б. Письма в ЖЭТФ, 1986, **44**, 382.
10. Сайдашев И.И., Савельев И.Г., Крещук Л.М. Письма в ЖЭТФ, 1986, **45**, 95.
11. Syphers D.A., Martin K.P., Higgins R.J. EP2DS VI, Kyoto, Jap., 1985, p. 273.

Институт физики твердого тела  
Академии наук СССР

Поступила в редакцию  
3 июля 1990 г.